

文章编号:0253-4339(2013)04-0059-05

doi:10.3969/j.issn.0253-4339.2013.04.059

R134a/CO₂复叠制冷系统的实验研究

沈九兵 胡斌 邱建伟 曹锋 邢子文

(西安交通大学能源与动力工程学院 西安 710049)

摘要 针对R134a/CO₂复叠制冷系统搭建实验台,研究不同工况下系统性能参数的变化规律,考查了压缩机效率对系统性能的影响,并与传统R404A系统性能进行比较。研究表明:在高温级冷凝温度48℃,低温级蒸发温度-30℃,冷凝蒸发器传热温差为3℃的工况下,CO₂冷凝温度为-2℃时系统COP出现最大值,并在最优值±5℃内系统性能变化不大;不同实验工况下,CO₂压缩机绝热效率最大偏差不超过4%,影响系统制冷量的主要因素是压缩机的容积效率;相同工况下,R134a/CO₂复叠制冷系统性能可比常规R404A系统性能高3%。

关键词 复叠制冷系统; 实验研究; R134a/CO₂

中图分类号:TB657

文献标识码:A

Experimental Research on the R134a/CO₂ Cascade Refrigeration System

Shen Jiubing Hu Bin Qiu Jianwei Cao Feng Xing Ziwen

(School of Energy and Power Engineering, Xi'an Jiaotong University, Xi'an, 710049, China)

Abstract A test rig of the R134a/CO₂ cascade supermarket refrigeration system has been built up to get a comprehensive understanding of its performance. The results show that the maximum COP of the system occurred when the condensing temperature of the CO₂ cycle was about -2℃, the condensing temperature of R134a and the evaporating temperature of CO₂ was settled at 48℃ and -30℃ respectively with a temperature difference of 3℃. Moreover, the COP remained stable while the condensing temperature varied within a certain range of ±5℃. Results also show that the maximum deviation of the compressor adiabatic efficiency is within 4%, the main factor affecting the system cooling capacity is the compressor volumetric efficiency. And the performance of the cascade system could be 3% higher compared with that of conventional R404A refrigeration system at the same condition.

Keywords cascade refrigeration system; experimental research; R134a/CO₂

随着环境问题的日益突出,制冷设备造成的直接或间接温室气体排放,成为继臭氧层破坏后制冷系统发展的又一挑战。因此,作为目前主要制冷系统应用的超市冷冻、冷藏市场急需改变现状,以减少温室气体排放。除加强系统密封,减小充灌量等传统方法外,自然工质的替代是目前的研究热点。其中,CO₂因具有价格低廉、良好的低温传热与传质特性等优点,其在超市复叠制冷系统中低温级的应用备受研究人员的青睐。国内外学者针对NH₃/CO₂、R290/CO₂复叠制冷系统做了大量的实验与理论研究^[1-8]。然而对于R134a/CO₂复叠制冷系统,仅有Elefsen&Micheme做了热力分析,缺乏实际的理论模拟与实验研究。作者针对超市R134a/CO₂复叠制冷循环,搭建了实验台,获得了系统变工况特性,分析了CO₂压缩机性能随工况的变化特性,并将R134a/CO₂复叠系统与常规R404A系统的性能进行了分析比较。

1 系统流程介绍

复叠系统流程如图1所示,由R134a高温循环、CO₂亚临界低温循环两部分组成。R134a过热气体从压缩机排出,经过油分离器后进入冷凝器冷凝,随后进入气液分离器,液态R134a节流后与气态CO₂在冷凝蒸发器中发生热交换,最终成为气态进入压缩机;液化后的CO₂节流后进入冷冻柜蒸发换热,出冷冻柜后进气液分离器分离,气态CO₂经管道过热后进入压缩机,压缩后的CO₂可通过阀的调节,选择直接进入冷凝蒸发器或进入储液器消除过热后依靠虹吸作用进入蒸发冷凝器。

2 实验台

图2为R134a/CO₂复叠制冷系统循环实验台的结构外形,其主要设备可参见表1。

实验台各测点位置及测量参数可参见系统流

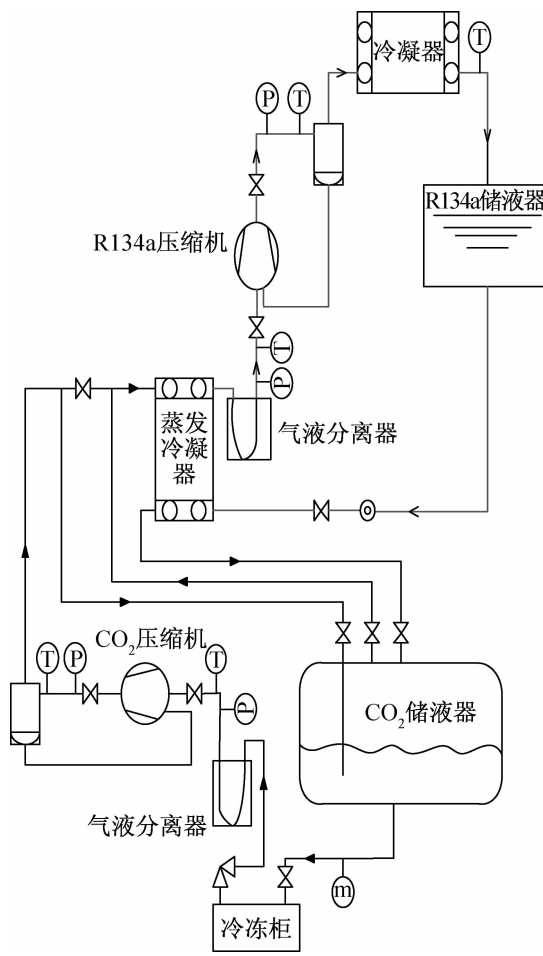


图1 R290/CO₂复叠系统流程

Fig. 1 R290/CO₂ cascade refrigeration system



图2 R134a/CO₂复叠系统实验台

Fig. 2 R134a/CO₂ cascade experiment rig

程图1。系统冷冻柜采用装有浓度30%氯化钙水溶液的冷冻水箱代替,水箱长500mm,宽400mm,高500mm,水箱外层为铝板,用保温材料包裹,且内置功率分别为0.5kW、1kW、2kW、3kW的加热器,通过调节加热器开关来控制冷冻水箱负荷。系统压力测量采用精度为0.5级的压力表,R134a压缩机、泵和风机的功率测量采用“两功率表”法,CO₂压缩机直接采用三相功率表测量,功率表精度等级均为0.5级。低温级系统制冷量采用制冷剂流量法计算。

表1 主要设备

Tab. 1 The main equipments

设备	选型	备注
R134a压缩机	涡旋全封闭式	谷轮
空气冷凝器	翅片管式风冷器	空气侧 $A_{of} = 72\text{m}^2$
R134a膨胀阀	热力膨胀阀	Danfoss
R134a蒸发器	钎焊板式换热器	Danfoss
CO ₂ 压缩机	半封活塞压缩机	Bitzer
CO ₂ 储液器	设计制造	设计容量43L
CO ₂ 节流阀	手动截止阀	-
CO ₂ 蒸发器	蛇形盘管	$A_{of} = 0.7\text{m}^2$
CO ₂ 油分离器	R410A专用油分	大金

3 结果与讨论

3.1 系统变工况特性

3.1.1 R134a/CO₂复叠制冷系统COP及制冷量随蒸发温度变化规律

调节CO₂循环泵旁通阀开度,同时调节R134a冷凝器变频风扇,使高温级冷凝温度为48℃,蒸发温度为-11℃,冷凝蒸发器的传热温差则设为3℃,调节CO₂低温循环的蒸发温度,使蒸发温度分别稳定在-40℃、-35℃、-30℃、-26℃和-24℃,并且将压缩机吸气过热度控制在5℃。如此测得每个工况下的系统COP变化规律如图3所示。可知系统的COP随着低温级蒸发温度的增大而升高,当蒸发温度升高到-30℃以后,系统COP的增加减缓,渐渐与蒸发温度近似成线性关系。图4为低温循环制冷量随蒸发温度的变化规律,可以看出系统制冷量的增长趋势与COP是一致的。

3.1.2 系统制冷剂流量随蒸发温度的变化规律

测得每个工况下的高、低温循环制冷剂质量流量变化规律如图,由图5和图6可以看出,R134a的

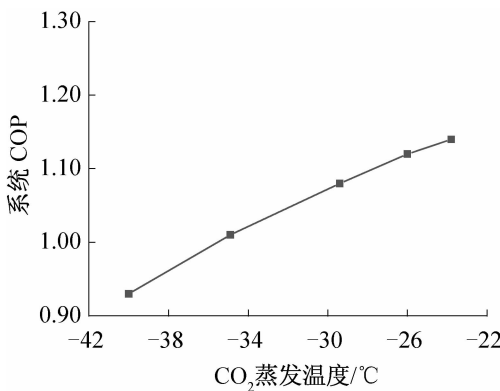


图3 系统COP随蒸发温度变化规律

Fig. 3 COP with evaporation temperature change

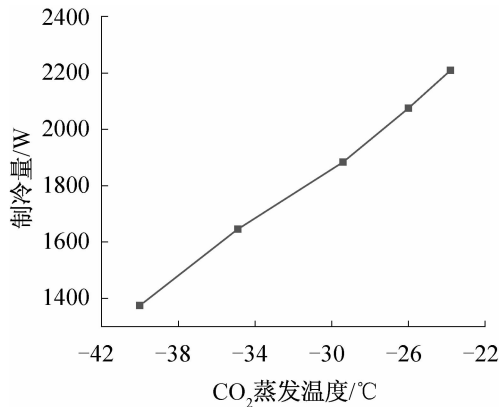


图4 制冷量随蒸发温度变化规律

Fig. 4 The capacity with evaporation temperature change

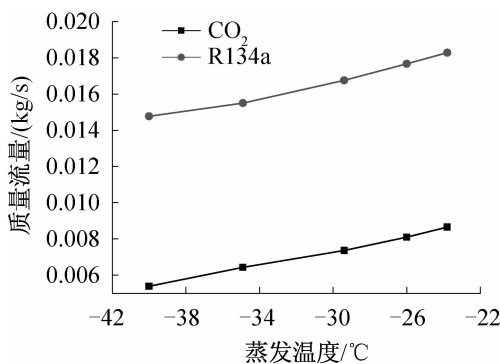


图5 质量流量随蒸发温度变化规律

Fig. 5 The flow rate with evaporation temperature change

质量流量始终大于CO₂两倍以上，随着蒸发温度升高，R134a、CO₂的流量均呈增大趋势，且R134a和CO₂质量流量比呈下降趋势。为了减小R134a压缩机排量，应尽量减小系统的冷凝温度，增大蒸发温度。

3.1.3 系统制冷量及COP随CO₂冷凝温度的变化规律

图7显示了在高温级冷凝温度48℃，冷凝蒸发

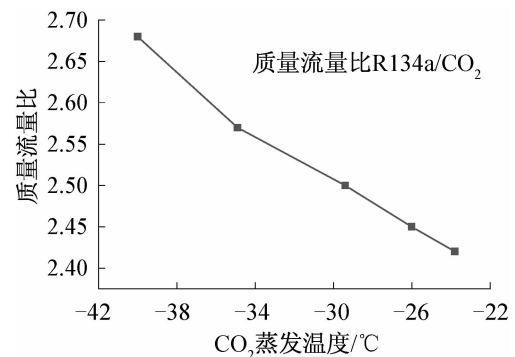


图6 质量流量比随蒸发温度变化规律

Fig. 6 The ratio of flow rate with evaporation temperature change

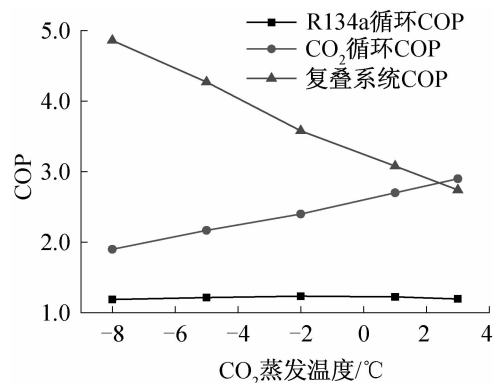


图7 系统COP随CO₂冷凝温度变化规律

Fig. 7 COP with CO₂ condensing temperature change

器传热温差3℃，蒸发温度-30℃时，系统高温循环、低温循环和整个系统的COP随着低温级CO₂冷凝温度的变化规律。可以看出，随着低温级CO₂冷凝温度的升高，高温级R134a循环的COP在增大，而CO₂循环的COP在下降，这两条COP曲线在CO₂冷凝温度为3℃附近相交于一点，复叠系统的COP则变化不大，只是呈少许先上升后下降的趋势，在CO₂冷凝温度为-2℃时达到最大值1.24，此最优值出现在交点的左边。通过实验数据分析，当CO₂冷凝温度在-8~3℃间，系统COP最大偏差小于5%，考虑到实验中的测量误差，基本认为系统COP在此范围内近似成水平直线，这增加了R134a/CO₂复叠制冷系统设计和运行的弹性空间。

图8显示高温级冷凝温度48℃，冷凝蒸发器传热温差3℃，蒸发温度为-30℃时，系统制冷量随CO₂冷凝温度升高而降低，实验数据显示，CO₂冷凝蒸发温度每升高5℃，系统制冷量变化最大可达14%，所以设计复叠制冷系统时，在系统COP变化不大的情况下应尽量将CO₂冷凝温度设定在最优值附近。

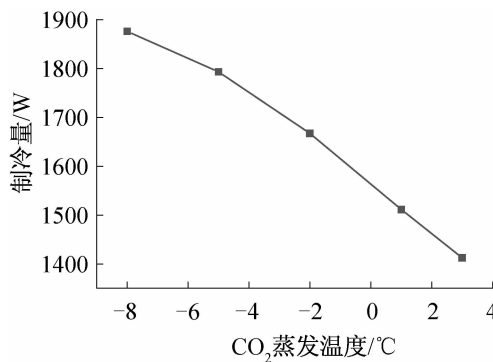


图8 制冷量随CO₂冷凝温度变化规律

Fig. 8 The capacity with CO₂ condensing temperature change

3.1.4 R134a/CO₂ 复叠制冷系统 COP 随高温级冷凝温度的变化规律

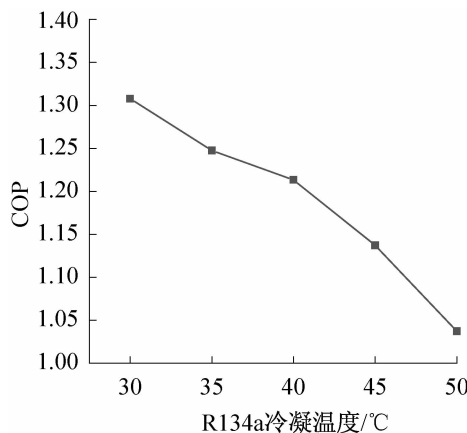


图9 COP随冷凝温度变化规律

Fig. 9 COP with condensing temperature change

图9显示了在CO₂蒸发温度-30℃, CO₂冷凝温度-8℃, 冷凝蒸发温差3℃时, 随着高温级R134a冷凝温度的升高, 复叠系统COP的变化规律。可以看出, 系统COP随R134a冷凝温度升高呈线性下降, 分析得出R134a冷凝温度每升高1℃, 系统COP下降1%。

3.1.5 不同CO₂冷凝温度下CO₂压缩机效率变化规律

图10表示了在CO₂低温蒸发温度为-30℃, 随着CO₂冷凝温度的升高, CO₂压缩机容积效率和绝热效率的变化规律, CO₂冷凝温度的变化范围为-8~4℃。如图所示, 随着CO₂冷凝温度的升高, CO₂压缩机容积效率有明显的降低, 绝热效率则相对仅有微小变化, 始终维持在52%附近, 最大偏差约为4%, 这说明影响系统制冷量的主要因素是压缩机的容积效率, 因而减小压缩机泄漏损失是提高系统制冷量的关键。

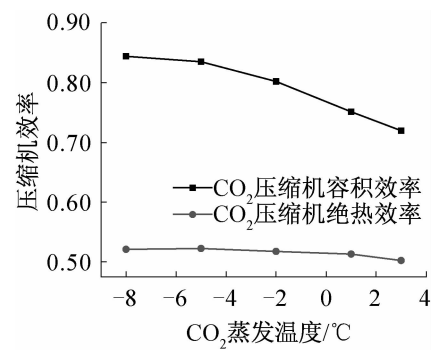


图10 CO₂压缩机效率随CO₂冷凝温度变化规律

Fig. 10 The efficiency with CO₂ condensing temperature change

3.2 复叠制冷系统与R404A制冷系统比较

表2为系统与常用的R404A制冷系统比较。

表2 R134a/CO₂复叠系统与常规R404A系统比较
Tab. 2 The comparison of R134a/CO₂ and R404A

循环位置	R134a/CO ₂ 系统		常规 R404A 系统	
	T _e	45℃	T _e	45℃
高温级	T _e	-11℃	T _e	-11℃
	Q _e	6.8kW	Q _e	4.1kW
	P _{134a}	3.6kW	P _{134a}	2.15kW
	THR	10.4kW	THR	6.25kW
	COP	1.89	COP	1.9
	T _c	-8℃	T _c	45℃
低温级	T _e	-26℃	T _e	-26℃
	Q _e	2.1kW	Q _e	2.1kW
	P _{CO₂}	0.38kW	P _{CO₂}	2.1kW
	COP _{CO₂}	5.5	COP _{404A}	1.0
系统性能	P _{total}	4.13kW	P _{total}	4.25kW
	COP _{total}	1.5	COP _{total}	1.46

左侧为R134a/CO₂复叠制冷系统的实验测试结果, 右侧为制冷厂家所提供的冷柜性能数据, 可以看出实验系统性能较常规R404A制冷系统可高3%, 而且实验中CO₂液体循环泵采用的是过量供液, 其耗功还可以减小, 同时实验系统还可以做进一步的改进。

4 结论

1) 得到了系统COP、制冷量与工质流量随冷凝温度、蒸发温度、冷凝蒸发温度变化的规律; 提高CO₂

冷凝温度,系统的COP先升高后下降,在高温级冷凝温度48℃,低温级蒸发温度-30℃,冷凝蒸发器传热温差为3℃的工况下,CO₂冷凝温度为-2℃时系统COP出现最大值,并在最优值±5℃内系统性能变化不大。

2) 不同实验工况下,压缩机的绝热效率变化不大,最大偏差在4%内,影响系统制冷量的主要因素是压缩机的容积效率。

3) 将R134a/CO₂复叠制冷系统与超市常规R404A制冷系统进行比较,在不同工况下发现R134a/CO₂复叠系统的COP较R404A系统最高可高3%。

本文受广东省教育部产学研结合项目(2011B090400470)及江苏省科技厅2011年产学研前瞻项目(BY2011134)资助。(The project was supported by the University-industry cooperation project from Guangdong Department of Education (No. 2011B090400470) and the forward-looking research projects from Jiangsu Department of Technology 2011 (No. BY2011134).)

参考文献

- [1] Hinde D. CO₂ refrigeration for U. S. supermarkets [R] // Proceeding of the 12th International Refrigeration and Air Conditioning Conference. Purdue, USA, 2008.
- [2] T Lee, C Liu, T Chen. Thermodynamic analysis of optimal condensing temperature of cascade - condenser in CO₂/NH₃ cascade refrigeration systems [J]. International Journal of Refrigeration, 2006, 29:1100-1108.
- [3] Girotto S, Minetto S. Commercial Refrigeration System with CO₂ as Refrigerant Experimental Results [J]. International Journal of Refrigeration, 2004, 27(7):717-723.
- [4] Pearson A. Carbon dioxide- new uses for an old refrigerant

- [J]. International Journal of Refrigeration, 2005, 28(8): 1140-1148.
- [5] Sawalha S. Carbon Dioxide in Supermarket Refrigeration [D]. Stockholm, Sweden: Royal Institute of Technology, 2008.
- [6] 查世彤,马一太,王景刚,等. CO₂/NH₃低温复叠式制冷循环的热力学分析与比较[J]. 制冷学报,2002,23(2): 15-19. (Zha Shitong, Ma Yitai, Wang Jinggang, et al. The thermodynamic analysis and comparison on low temperature CO₂-NH₃ cascade refrigeration cycle [J]. Journal of Refrigeration, 2002, 23(2): 15-19.)
- [7] 刘红娟,傅秦生,顾兆林. NH₃/CO₂低温制冷系统热力学分析[J]. 华北电力大学学报, 2002, 30(5): 75-78. (Liu Hongjuan, Fu Qinsheng, Gu Zhaolin. Termodynamic analysis of low temperature refrigeration system with ammonia/carbon dioxide [J]. Journal of North China Electric Power University, 2003, 30(5): 75-78.)
- [8] 董彬. 自然工质R290/CO₂复叠制冷循环的实验研究 [D]. 天津:天津商业大学,2009.

作者简介

沈九兵,男(1987-),博士研究生,西安交通大学能源与动力工程学院,13402948070,E-mail:shenjiubing@stu.xjtu.edu.cn。研究方向:商用空气源跨临界CO₂热泵热水器实验研究和高温水蒸汽压缩热泵技术。

About the author

Shen Jiubing (1987-), male, Ph. D. students, Xi'an Jiaotong University, Institute of Compressor, 13402948070, E-mail: shenjiubing@stu.xjtu.edu.cn. Research fields: Experimental study on air-source transcritical CO₂ heat pump water heater in commercial fields; Development of high temperature heat pump with water vapor as refrigerant using twin screw compressor.